

**РАСЧЕТ СОСТОЯНИЯ АРГОНА ЗА ПАДАЮЩЕЙ УДАРНОЙ ВОЛНОЙ
В ДИАПАЗОНЕ ЧИСЕЛ МАХА ОТ 20 ДО 50 С УЧЕТОМ ВОЗБУЖДЕНИЯ,
МНОГОКРАТНОЙ ИОНИЗАЦИИ И КУЛОНОВСКОГО ВЗАИМОДЕЙСТВИЯ**

Г. И. Козлов, Е. Л. Ступицкий

(Москва)

Представлены результаты расчетов параметров плазмы за падающей ударной волной в аргоне с учетом электронного возбуждения, трехкратной ионизации и уменьшения потенциала ионизации за счет кулоновского взаимодействия.

Система уравнений для падающей ударной волны с учетом трехкратной ионизации состоит из следующих семи уравнений, написанных в лабораторной системе координат: уравнение сохранения массы

$$\rho_1 V = \rho_2 (V - u_2)$$

уравнение сохранения импульса

$$p_1 + \rho_1 V^2 = p_2 + \rho_2 (V - u_2)^2$$

уравнение сохранения энергии

$$h_1 + \frac{1}{2} V^2 = h_2 + \frac{1}{2} (V - u_2)^2$$

уравнения закона действующих масс

$$x_1 = \left[1 + \frac{n_e}{K'} + \frac{K''}{n_e} \left(1 + \frac{K'''}{n_e} \right) \right]^{-1}, \quad x_2 = \frac{K''}{n_e} x_1, \quad x_3 = \frac{K'''}{n_e} x_2$$

уравнение состояния с учетом кулоновского взаимодействия [1]

$$p = \frac{\rho}{m} kT (1 + x_1 + 2x_2 + 3x_3) - \frac{e^3 \rho}{3m^{3/2}} \left(\frac{\pi \rho}{kT} \right)^{1/2} (2x_1 + 6x_2 + 12x_3)^{3/2}$$

Здесь V — скорость ударной волны; u_2 — скорость потока за ударной волной; ρ , p , T , h — соответственно, плотность, давление, температура и энталпия (индексы 1 и 2 при указанных выше параметрах относятся к условиям перед и за ударной волной); K' , K'' , K''' — константы равновесия для процессов одно-, дву- и трехкратной ионизации; x_1 , x_2 , x_3 — соответственно, степени одно-, дву- и трехкратной ионизации, равные

$$x_j = \frac{n_j}{n_0 + n_1 + n_2 + n_3} \quad (j = 1, 2, 3)$$

Здесь n_j — число ионов j -й кратности в см^3 ; n_0 — число нейтральных атомов в см^3 ; n_e — число электронов в см^3 ; m — масса атома аргона; e — заряд электрона; k — постоянная Больцмана.

Выражение для удельной энталпии одноатомного газа с учетом возбуждения, многократной ионизации и кулоновского взаимодействия можно записать в следующем виде:

$$\begin{aligned} h &= -\frac{5}{2} \frac{kT}{m} (1 + x_1 + 2x_2 + 3x_3) - \\ &- \frac{4}{3} \frac{e^3}{m^{3/2}} \left(\frac{\pi \rho}{kT} \right)^{1/2} (2x_1 + 6x_2 + 12x_3)^{3/2} + \frac{1}{m} [J_1(x_1 + x_2 + x_3) + J_2(x_2 + x_3) + J_3 x_3] + \\ &+ \frac{1}{m} (1 - x_1 - x_2 - x_3) \frac{X^{(0)}}{Z^{(0)}} + \sum x_j \frac{X^{(j)}}{Z^{(j)}} \\ X^{(j)} &= \sum_i g_i^{(j)} e_i^{(j)} \exp \left(-\frac{e_i^{(j)}}{kT} \right), \quad Z^{(j)} = \sum_i g_i^{(j)} \exp \left(-\frac{e_i^{(j)}}{kT} \right) \end{aligned}$$

Здесь $X^{(j)}$ — энергия возбуждения нейтрального атома и ионов; $Z^{(j)}$ — статистическая сумма нейтрального атома и ионов; $g_i^{(0)}, \dots, g_i^{(3)}$ — статистические веса энергетических состояний; $e_i^{(0)}, \dots, e_i^{(3)}$ — энергия энергетических уровней, отсчитываемая от

нижнего уровня нейтрального атома и ионов; J_1, J_2, J_3 — соответствующие потенциалы ионизации. В этой формуле первый член учитывает поступательную энергию, второй — кулоновское взаимодействие, третий — энергию, затраченную на ионизацию, последний член учитывает возбуждение уровней нейтрального атома и ионов.

Константы равновесия для процессов одно-, дву- и трехкратной ионизации с учетом возбуждения электронных уровней и снижения потенциалов ионизации за счет кулоновского взаимодействия определяются формулами статистической физики

$$K' = 2 \frac{Z^{(1)}}{Z^{(0)}} \frac{(2\pi m_e kT)^{3/2}}{h^3} \exp \left(-\frac{J_1 - \Delta E_1}{kT} \right)$$

$$K'' = 2 \frac{Z^{(2)}}{Z^{(1)}} \frac{(2\pi m_e kT)^{3/2}}{h^3} \exp \left(-\frac{J_2 - \Delta E_2}{kT} \right)$$

$$K''' = 2 \frac{Z^{(3)}}{Z^{(2)}} \frac{(2\pi m_e kT)^{3/2}}{h^3} \exp \left(-\frac{J_3 - \Delta E_3}{kT} \right)$$

Здесь m_e — масса электрона, h — постоянная Планка; ΔE_j — уменьшение потенциалов ионизации, которое в соответствии со статистическим рассмотрением методом Дебая — Хюккеля равно

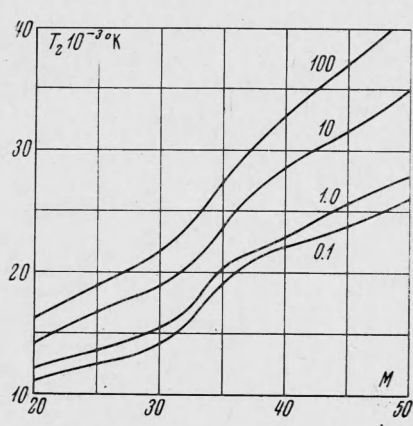
$$\Delta E_j = \frac{e^3}{3} \left(\frac{\pi \rho}{mkT} \right)^{1/2} (2x_1 + 6x_2 + 12x_3)^{1/2} \left(6j - \frac{2x_1 + 6x_2 + 12x_3}{1 + x_1 + 2x_2 + 3x_3} \right)$$

и, наконец, концентрация электронов равна

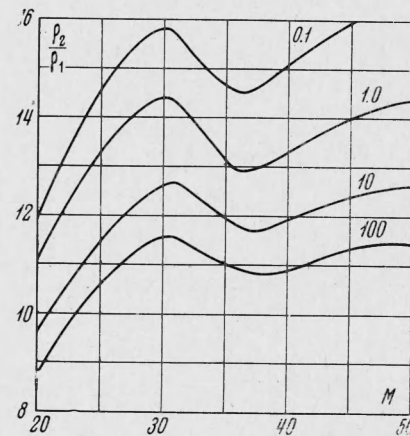
$$n_e = \rho/m(x_1 + 2x_2 + 3x_3)$$

Написанная выше система уравнений является замкнутой относительно своих неизвестных. При расчетах варьировались значения двух параметров: ρ_1 и M . В первом упрощенном варианте (без кулоновского взаимодействия) система решалась методом скорейшего спуска [2]. Полученные, таким образом, значения использовались далее в качестве первого приближения для решения полной системы методом Зайделя. При этом особое внимание уделялось выполнению условий сходимости для этого метода. Задача решалась на машине БЭСМ-3М.

Атомные константы для аргона были взяты из работы [3]. Расчет был выполнен для падающей ударной волны в интервале чисел M от 20 до 50 для следующих значений начального давления 0.1, 0.3, 1.0, 3.0, 10, 25, 50, 100 мм рт. ст. На фиг. 1—3 представ-



Фиг. 1



Фиг. 2

лена зависимость температуры, сжатия и степени ионизации за фронтом ударной волны от числа M для четырех значений начального давления. Степени ионизации приведены только для одно- и двукратной ионизации, так как в рассматриваемом диапазоне чисел M трехкратная ионизация за падающей ударной волной мала и даже для M , равного 50, и начального давления 0.1 мм рт. ст. составляет $2 \cdot 10^{-3}$.

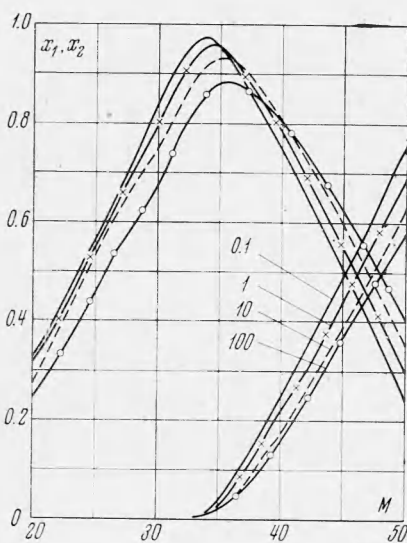
Из фигур следует, что в области максимума однократной ионизации, где почти все атомы уже однократно ионизованы, а двукратная ионизация еще мала, основная доля энергии ударной волны затрачивается на увеличение температуры, что приводит к падению плотности. При дальнейшем увеличении становится существенным процесс двукратной ионизации, который замедляет рост температуры и приводит к увеличению плотности.

При расчете энергии возбуждения атома и ионов возникает вопрос о числе уровней, которые следует учитывать, так как в плазме конечной плотности происходит «резание» верхних возбужденных уровней, а энергия электронного возбуждения пропорциональна числу уровней. К сожалению, в этом вопросе пока не существует единого мнения и различные оценки, которые можно сделать, дают разные результаты. Так, суммирование по уровням можно обрывать на таком значении n^* -главного квантового числа, при котором размеры орбиты электрона для водородоподобного иона становятся сравнимыми с дебаевским радиусом экранирования

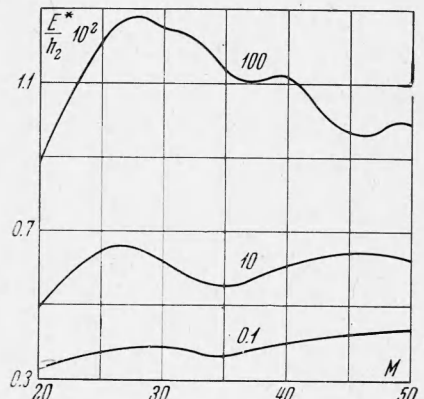
$$n^* = \left(\frac{Z^2 k T}{4\pi n_e e^2 a_0^2} \right)^{1/4}$$

Здесь Z — заряд ядра, $a_0 = 0.53 \cdot 10^{-8}$ см — боровский радиус. Отсюда следует,

что для газа, который находился, скажем, при комнатной температуре и давлении 100 мм рт. ст. и затем был нагрет в ударной волне с числом $M=20$, предельное значение $n^* = 8$.



Фиг. 3



Фиг. 4

Можно обрывать суммирование на таком уровне, где энергия связи электрона равна kT , так как в этом случае фактически каждое соударение со свободным электроном будет выбивать связанный электрон из атома [4]. Для водородоподобного иона энергия связи электрона E_n , находящегося на n -м уровне, равна его кулоновской энергии в поле ядра

$$E_n = \frac{J_H Z^2}{n^2}$$

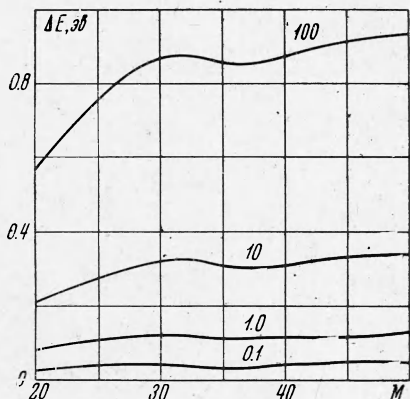
Здесь $J_H = 13.5$ эв — потенциал ионизации водорода. Приравняв эту энергию кинетической энергии электрона kT , находим, что для приведенных выше условий предельное значение $n^* = 3$. Из сделанных оценок видно, что неопределенность в значении числа учитываемых уровней слишком велика и заведомо перекрывает температурную зависимость для предельного значения n^* . Поэтому решено было учитывать первые пять уровней. Заметим, что к этому же результату приводят расчеты на основании известной теории Инглиса — Теллера.

На фиг. 4 представлена зависимость отношения энергии возбуждения к энталпии газа от числа Маха для начальных давлений 1, 10, 100 мм рт. ст.

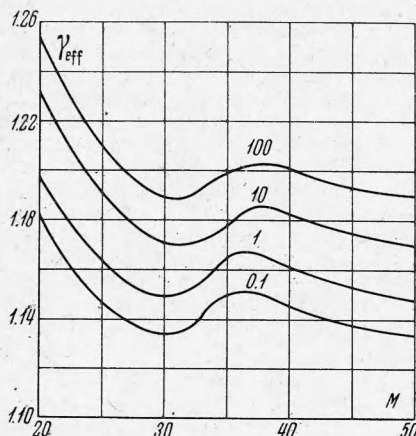
Из графиков следует, что при больших числах Маха и давлениях необходимо учитывать энергию электронного возбуждения при расчете параметров состояния газа.

Выше отмечалось, что при расчете термодинамических функций уменьшение потенциала ионизации учитывалось по статистической теории Дебая — Хюкеля. На фиг. 5 приведено снижение потенциала ионизации ΔE_1 , в зависимости от числа Маха ударной волны для различных начальных давлений.

Из графиков следует, что для больших начальных давлений, порядка 100 м.м рт. ст. условие слабой неидеальности $\Delta E \ll kT$, являющееся критерием применимости метода Дебая — Хюкеля, строго говоря, уже не выполняется.



Фиг. 5



Фиг. 6

Представляет также интерес вычисление значения эффективного показателя адиабаты γ_{eff} . Введение γ_{eff} особенно целесообразно в тех случаях, когда его значение примерно оказывается постоянным, так как в этом случае можно пользоваться точными решениями для различных газодинамических задач. Эффективный показатель адиабаты вычисляется на основании расчетных значений термодинамических функций по следующей формуле:

$$\gamma_{eff} = 1 + p/\rho H$$

где H — удельная внутренняя энергия. На фиг. 6 представлена, полученная таким образом зависимость γ_{eff} от числа Маха ударной волны, которая свидетельствует о том, что изменение γ_{eff} весьма существенно, но в интервале чисел M от 25 до 50 изменение γ_{eff} невелико и для каждого значения начального давления составляет примерно ± 0.01 .

Авторы благодарят Ю. П. Райзера за ценные замечания.

Поступила 3 XI 1967

ЛИТЕРАТУРА

- Ландау Л. Д., Лишинц Е. М. Теоретическая физика, т. 4. М., Гостехиздат, 1951.
- Демидович Б. П., Марон И. А. Основы вычислительной математики. М., Физматгиз, 1963.
- Мооге С. Е. Atomic energy levels. Washington, 1949, vol. 1.
- Зельдович Я. Б., Райзер Ю. П. Физика ударных волн и высокотемпературных гидродинамических явлений. М., Изд-во «Наука», 1966.